

О.О. СОБОЛЬ

Київський національний університет ім. Тараса Шевченка  
(Просп. Академіка Глушкова, 2, Київ 03022; e-mail: soboleks@ukr.net)**ВАРІАЦІЙНИЙ МЕТОД  
ОБЧИСЛЕННЯ КРИТИЧНОЇ ВІДСТАНИ В ЗАДАЧІ  
ДВОХ КУЛОНІВСЬКИХ ЦЕНТРІВ У ГРАФЕНІ**

УДК 538.915

*Досліджено надкритичну нестабільність в системі двох заряджених домішок у графені з квазічастинками, що в неперервній границі описуються двовимірним рівнянням Дірака. Розглянуто випадок, коли заряд кожної з двох однакових домішок є субкритичним, а їх сума перевищує критичний заряд в задачі про один кулонівський центр. Розвинуто варіаційний метод, за допомогою якого обчислюється значення критичної відстані між домішками  $R_{cr}$  як функції повного заряду системи. Встановлено, що  $R_{cr}$  зростає зі збільшенням повного заряду двох домішок та зі зменшенням ширини квазічастинкової щільності. Проведено порівняння результатів з даними попередніх досліджень.*

*Ключові слова:* графен, надкритична нестабільність, критична відстань, варіаційний метод Канторовича.

**1. Вступ**

Хоча безщілинний лінійний спектр графену було отримано ще досить давно [1] при побудові зонної моделі графіту за умови нехтування взаємодії між атомними площинами вуглецю, сам графен було вперше отримано в 2004 році [2], відколи й почалося його інтенсивне теоретичне та експериментальне вивчення. Він постійно привертає до себе увагу науковців всього світу, завдяки своїм унікальним властивостям. Зокрема, він є одним з перших двовимірних кристалів, має надвисоку механічну міцність та рухливість носіїв заряду, чим зумовлені перспективи його застосування в новітній наноелектроніці. Також розгляд фізики графену є цікавим і з точки зору фундаментальних наукових досліджень. Адже, як виявилось, вона має глибинний зв'язок з квантовою електродинамікою (КЕД) та іншими квантовими теоріями поля.

Графен має кристалічну ґратку у вигляді бджолиних сот. У наближенні сильного зв'язку спектр низькоенергетичних квазічастинкових збуджень є лінійним, і вони описуються безмасовим  $(2 + 1)$ -вимірним рівнянням Дірака [3–6]. Таким чином, у неперервній границі маємо ефективну квантовопольову теорію з  $(2 + 1)$ -вимірними діраківськими ферміонами, що взаємодіють зі звичайним три-

вимірним потенціалом Кулона  $\sim 1/r$ . Ці обставини свідчать про можливість твердотільної реалізації експериментів для спостереження таких явищ КЕД, як парадокс Клейна, ефект Швінгера (народження пар у сильному зовнішньому електричному полі), надкритичний атомний колапс та ін., які ще не спостерігалися в природі. І дійсно, в графені було виявлено клейнівське тунелювання [7] і, зовсім нещодавно, експериментально спостерігався надкритичний атомний колапс заряджених домішок [8].

Розв'язок релятивістської задачі Кеплера з урахуванням скінченних розмірів атомного ядра [9] показав, що при перевищенні так званого *критичного* заряду ядра  $Z_{cr} \approx 170$  енергетичні рівні зв'язаних станів занурюються в нижній континуум і спостерігається виліт позитронів [10, 11]. Однак, ядер з таким зарядом не існує, тому ефект так і не був спостережений. Згодом, виникла ідея про лобові (або майже лобові) зіткнення ядер важких атомів, наприклад, урану [10, 12–14]. У цьому випадку їх сумарний заряд перевищує критичний і існує така відстань між ядрами, за якої відбувається занурення найнижчого зв'язаного стану в нижній континуум. Ця відстань також називається *критичною*. На жаль, в релятивістській задачі двох центрів змінні не розділяються в жодній системі координат, а тому побудувати аналітичний розв'язок не вдається [10, 11]. Проте, були прове-

© О.О. СОБОЛЬ, 2014

дені розрахунки за допомогою наближених методів квантової механіки, зокрема варіаційного [15], і було отримано залежності критичної відстані між ядрами від повного заряду системи.

У фізиці графену замість швидкості світла  $c$  фігурує швидкість Фермі:  $v_F \approx 10^6$  м/с. Тоді “стала тонкої структури” для графену  $\alpha = \frac{e^2}{\hbar v_F} \approx 2,19$ . Але насправді, графен знаходиться на діелектричній підкладці, тому взаємодія з домішкою із зарядом  $Ze$  описується константою  $\beta = Z\alpha/\kappa$ , де  $\kappa$  – діелектрична проникність підкладки. Задача про надкритичну нестабільність однієї зарядженої домішки в безщілинному графені детально вивчалась в роботах [16, 17]. Для графену зі щілиною  $2\Delta$  у випадку регуляризованого кулонівського потенціалу  $V(r) = -\frac{Ze^2}{\kappa r}\theta(r-R) - \frac{Ze^2}{\kappa R}\theta(R-r)$  було виявлено [18], що перехід до надкритичного режиму відбувається при  $\beta_c = 1/2 + \pi^2/\log^2(c\Delta R/\hbar v_F)$ , де  $c \approx 0,21$ .

І хоча в графені надкритична нестабільність проявляється вже при зарядах домішок  $Z \gtrsim 1$ , можливість її спостереження є ілюзорною, оскільки існують експериментальні труднощі в отриманні домішок із зарядом, вищим за 1. Виходом із ситуації, що складається, є розміщення кількох заряджених домішок на невеликій ділянці графену. Саме цей підхід і був реалізований групою вчених з Каліфорнійського університету [8] для спостереження надкритичної нестабільності в графені (в ролі домішок використовувались іонізовані димери кальцію). Отже, незважаючи на те, що константа взаємодії в графені є в 300 разів більшою, і тут виникає необхідність розгляду не однієї, а кількох домішок, розміщених поруч. Найпростішим випадком є задача про два кулонівських центри. В роботі [19] було обчислено критичну відстань між домішками, розраховано положення та ширину резонансу, що виникає в нижньому континуумі в надкритичному режимі за допомогою варіаційного методу в першому наближенні. Ця стаття присвячена реалізації наступного наближення у варіаційному методі.

Робота побудована таким чином. В розділі 2 розглянуто постановку задачі та обчислено асимптотики хвильової функції стану, що занурюється в нижній континуум. В розділі 3 описано варіаційний метод знаходження критичної відстані між домішками. Обговорення результатів та висновки наведені в розділі 4.

## 2. Постановка задачі

У наближенні сильного зв'язку зонний спектр графену має валентну зону та зону провідності, які дотикаються у двох нееквівалентних точках оберненої кристалічної ґратки. Це так звані *точки Дірака*  $\mathbf{K}_\pm$ . При цьому спектр низькоенергетичних збуджень є лінійним. Ефективний гамільтоніан, що описує електронні квазічастинкові збудження в околі точок Дірака, має вигляд  $(2+1)$ -вимірному гамільтоніана Дірака. У випадку, коли між валентною зоною та зоною провідності існує квазічастинкова щілина, в гамільтоніані з'являється масовий доданок:

$$H = v_F \boldsymbol{\tau} \mathbf{p} + \xi \Delta \tau_z + V(r), \quad (1)$$

де  $\mathbf{p}$  – канонічний імпульс,  $\tau_i$  – матриці Паулі, і  $\Delta$  – півширина квазічастинкової щілини. Цей гамільтоніан діє в просторі двокомпонентних спінорів  $\Psi_{\xi s}$ , що несуть долинний ( $\xi = \pm$ ) та спіновий ( $s = \pm$ ) індекси. За стандартною домовленістю,  $\Psi_{+s}^T = (\psi_A, \psi_B)_{K_+s}$ ,  $\Psi_{-s}^T = (\psi_B, \psi_A)_{K_-s}$ , де  $A, B$  – відповідні підґратки гексагональної ґратки графену. Потенціал взаємодії має вигляд

$$V(\mathbf{r}) = -\frac{e^2}{\kappa} \left( \frac{Z_1}{r_1} + \frac{Z_2}{r_2} \right), \quad (2)$$

де  $\kappa$  – діелектрична проникність підкладки,  $Z_{1,2}$  – заряди домішок,  $r_{1,2} = |\mathbf{r} \pm \mathbf{R}/2|$  – відстані від кулонівських домішок до електрона (див. рис. 1).

Оскільки потенціал від спіну не залежить, надалі спіновий індекс опускатимемо. Також вважатимемо, що електрон знаходиться поблизу точки Дірака  $\mathbf{K}_+$ . Якщо він знаходиться поблизу точки  $\mathbf{K}_-$ , то необхідно замінити скрізь  $\Delta$  на  $-\Delta$ . В нещодавніх експериментах [8] розглядалися однакові домішки, тому тут також ми поклали  $Z_1 = Z_2 = Z$ .

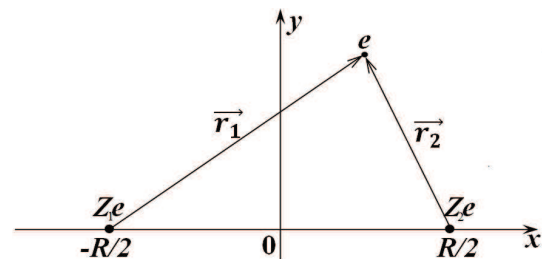


Рис. 1. Електрон у полі двох кулонівських домішок

Таким чином, рівняння Дірака для електрона у потенціалі двох заряджених домішок має вигляд

$$(v_F \tau_x p_x + v_F \tau_y p_y + \Delta \tau_z + V(\mathbf{r})) \Psi(\mathbf{r}) = E \Psi(\mathbf{r}). \quad (3)$$

Для двокомпонентного спінора  $\Psi(\mathbf{r}) = (\phi, \chi)^T$  воно переписеться так:

$$\begin{cases} (E - V - \Delta) \phi + i v_F \left( \frac{\partial}{\partial x} - i \frac{\partial}{\partial y} \right) \chi = 0, \\ (E - V + \Delta) \chi + i v_F \left( \frac{\partial}{\partial x} + i \frac{\partial}{\partial y} \right) \phi = 0. \end{cases} \quad (4)$$

Якщо виразити компоненту  $\chi$  з другого рівняння системи (4), то отримаємо диференціальне рівняння другого порядку на другу компоненту  $\phi$ :

$$\begin{aligned} (\partial_x^2 + \partial_y^2) \phi + \frac{\frac{\partial V}{\partial x} - i \frac{\partial V}{\partial y}}{E - V + \Delta} \left( \frac{\partial \phi}{\partial x} + i \frac{\partial \phi}{\partial y} \right) + \\ + v_F^{-2} ((E - V)^2 - \Delta^2) \phi = 0. \end{aligned} \quad (5)$$

Надкритична нестабільність настає, коли найнижчий зв'язаний стан занурюється в нижній континуум, тобто  $E = -\Delta$  [10, 11]. В подальших розрахунках розглядатимемо лише таке значення енергії.

### 2.1. Асимптотична поведінка хвильової функції

Дослідимо асимптотичну поведінку хвильової функції при великих відстанях  $r \rightarrow \infty$ . В цьому наближенні потенціал має вигляд

$$V(\mathbf{r}) = -\zeta v_F \left( \frac{1}{r} + \frac{R^2}{4r^3} P_2(\cos \varphi) + O\left(\frac{1}{r^5}\right) \right), \quad (6)$$

де  $\zeta = 2Z\alpha/\kappa$ , а  $P_2(x)$  – поліном Лежандра другого степеня. Підставляючи його до рівняння (5) і залишаючи лише найбільш вагомні доданки, отримуємо

$$\phi'' + \frac{2}{r} \phi' + \left( \frac{\zeta^2}{r^2} - \frac{2m\zeta}{r} \right) \phi = 0, \quad (7)$$

де  $m = \Delta/v_F$  – обернена комптонівська довжина хвилі квазічастинки. Загасаючий на нескінченності розв'язок цього рівняння описується функцією Макдональда:

$$\phi(r) = C r^{-1/2} K_{i\gamma}(\sqrt{8m\zeta r}), \quad \gamma = \sqrt{4\zeta^2 - 1}. \quad (8)$$

Тоді, враховуючи асимптотичну поведінку функції Макдональда [20], матимемо

$$\phi_{\text{asym}}(r) = \tilde{C} r^{-3/4} \exp(-\sqrt{8m\zeta r}), \quad r \rightarrow \infty. \quad (9)$$

Щоб дослідити асимптотичну поведінку функції безпосередньо біля однієї з домішок, зручно перейти до еліптичної системи координат  $(\xi, \eta)$ :

$$\xi \equiv \frac{r_1 + r_2}{R}, \quad \eta \equiv \frac{r_1 - r_2}{R}. \quad (10)$$

Нові координати змінюються в діапазонах:

$$1 \leq \xi < \infty, \quad -1 \leq \eta \leq 1,$$

де в точках  $\xi = 1, \eta = \pm 1$  розміщуються домішки.

В еліптичних координатах потенціал взаємодії має вигляд

$$V(\mathbf{r}) = -\frac{2\zeta v_F \xi}{R(\xi^2 - \eta^2)}. \quad (11)$$

Наближення до однієї з домішок означає малість величини  $\xi^2 - \eta^2$ . Перепишемо рівняння (5) в еліптичних координатах:

$$\begin{aligned} \frac{4}{R^2(\xi^2 - \eta^2)} \left[ \sqrt{\xi^2 - 1} \frac{\partial}{\partial \xi} \left( \sqrt{\xi^2 - 1} \frac{\partial}{\partial \xi} \right) + \right. \\ \left. + \sqrt{1 - \eta^2} \frac{\partial}{\partial \eta} \left( \sqrt{1 - \eta^2} \frac{\partial}{\partial \eta} \right) \right] \phi + \\ + \frac{4}{R^2 \xi (\xi^2 - \eta^2)^3} \left[ \xi^4 \eta + 3\xi^2 \eta^3 - 3\xi^2 \eta - \eta^3 - \right. \\ \left. - i \sqrt{(\xi^2 - 1)(1 - \eta^2)} (\xi^3 + 3\xi \eta^2) \right] \times \\ \times \left[ \left( \eta(\xi^2 - 1) + i \xi \sqrt{(\xi^2 - 1)(1 - \eta^2)} \right) \frac{\partial \phi}{\partial \xi} + \right. \\ \left. + \left( \xi(1 - \eta^2) - i \eta \sqrt{(\xi^2 - 1)(1 - \eta^2)} \right) \frac{\partial \phi}{\partial \eta} \right] + \\ + \left( \frac{4\zeta^2 \xi^2}{R^2(\xi^2 - \eta^2)^2} - \frac{4\zeta m \xi}{R(\xi^2 - \eta^2)} \right) \phi = 0. \end{aligned} \quad (12)$$

Шукатимемо розв'язок у вигляді:  $\phi(\xi, \eta) = \phi(\mu)$ , де  $\mu = \xi^2 - \eta^2 = 4r_1 r_2 / R^2$ . Після підстановки до рівняння (12) залишимо лише найбільш вагомні доданки і отримаємо рівняння

$$\frac{d^2 \phi}{d\mu^2} + \frac{2}{\mu} \frac{d\phi}{d\mu} + \frac{\zeta^2}{4\mu^2} \phi = 0, \quad (13)$$

регулярним при  $\mu \rightarrow 0$  розв'язком якого є

$$\phi_{\text{imp}}(\mu) = C_2 \mu^{-\sigma/2}, \quad \sigma = 1 - \sqrt{1 - \zeta^2}. \quad (14)$$

Беручи до уваги те, що змінна  $\mu \simeq 4r^2/R^2$  при  $r \rightarrow \infty$ , перепишемо розв'язок (8) у вигляді

$$\phi(\mu) = C_1 \mu^{-1/4} K_{i\gamma}(2\sqrt{m\zeta R} \mu^{1/4}). \quad (15)$$

Зшиваючи розв'язки (14) і (15) в точці  $\mu = 1$ , можна отримати оцінку для критичної відстані  $R_{\text{cr}}(\zeta)$  як функції  $\zeta$ . Ця залежність задовольняє трансцендентне рівняння:

$$2\sqrt{1 - \zeta^2} - 1 = 2\sqrt{m\zeta R} \frac{K'_{i\gamma}(2\sqrt{m\zeta R})}{K_{i\gamma}(2\sqrt{m\zeta R})}. \quad (16)$$

Його чисельний розв'язок зображено штрихпунктирною лінією на рис. 2. В наступному розділі цю залежність буде уточнено за допомогою варіаційного методу.

### 3. Варіаційний метод

Як було зазначено вище, релятивістське рівняння Дірака для задачі двох кулонівських центрів не допускає розділення змінних в жодній ортогональній системі координат, а тому неможливо отримати його розв'язок в аналітичній формі. Для побудови наближеного розв'язку скористаємось, як і у випадку КЕД [15], варіаційним методом. Як зазначено в роботі [21], найкращої точності варіаційний метод досягає тоді, коли його пробні функції задовольняють асимптотики точного розв'язку поблизу заряджених домішок та на нескінченності. Зазначені асимптотики було знайдено в попередньому розділі.

Щоб поставити варіаційну задачу, достатньо помітити, що диференціальне рівняння (5) може бути отримане під час дослідження на екстремум такого функціонала:

$$S[\phi] = \int \left( (E - V + \Delta)^{-1} \left| \frac{\partial \phi}{\partial x} + i \frac{\partial \phi}{\partial y} \right|^2 - v_{\text{F}}^{-2} (E - V - \Delta) |\phi|^2 \right) dx dy, \quad (17)$$

за умови збереження норми:

$$N = \int \Psi^* \Psi dx dy = \int \left[ v_{\text{F}}^{-2} |\phi|^2 + \right.$$

$$\left. + (E - V + \Delta)^{-2} \left| \frac{\partial \phi}{\partial x} + i \frac{\partial \phi}{\partial y} \right|^2 \right] dx dy. \quad (18)$$

Означимо нове поле  $\psi = W^{-1/2} \phi$ ,  $W = E - V + \Delta$ . Тоді функціонал  $S[\phi]$  може бути представлений у формі, характерній для нерелятивістської квантової механіки:

$$S[\psi] = \int \left[ |\nabla \psi|^2 + i \left( \frac{\nabla V}{2W} \times \nabla \psi^* \right) \psi - i \psi^* \left( \frac{\nabla V}{2W} \times \nabla \psi \right) + 2(U - \epsilon) |\psi|^2 \right] dx dy, \quad (19)$$

де  $\mathbf{a} \times \mathbf{b} = \epsilon_{ij} a_i b_j$ ,  $\epsilon = (E^2 - \Delta^2)/2v_{\text{F}}^2$  – ефективна енергія, а ефективний потенціал  $U$  має вигляд

$$U = \frac{EV}{v_{\text{F}}^2} - \frac{V^2}{2v_{\text{F}}^2} + \frac{\Delta V}{4W} + \frac{3}{8} \frac{(\nabla V)^2}{W^2}. \quad (20)$$

Другий і третій доданки у функціоналі (19) описують псевдоспін-орбітальну взаємодію. Норма набуває вигляду

$$N = \int \left[ |\nabla \psi|^2 + i \left( \frac{\nabla V}{2W} \times \nabla \psi^* \right) \psi - i \psi^* \left( \frac{\nabla V}{2W} \times \nabla \psi \right) + \left( \frac{W^2}{v_{\text{F}}^2} + \frac{\Delta V}{2W} + \frac{5(\nabla V)^2}{4W^2} \right) |\psi|^2 \right] W^{-1} dx dy \quad (21)$$

і є важливою при виборі правильних граничних умов. Оскільки надалі будемо цікавитись випадком, коли найнижчий зв'язаний стан занурюється в нижній континуум, то покладемо  $E = -\Delta$  ( $\epsilon = 0$ ),  $W = -V$ . Тоді функціонал  $S[\psi]$  спроститься.

В розділі 2 було встановлено, що точний розв'язок задачі в обох асимптотичних випадках (14) і (15) залежить лише від однієї змінної  $\mu$ . А тому застосуємо варіаційний метод Канторовича (докладніше в розділі 3 огляду [22]), де в ролі пробних функцій виберемо:

$$\psi = \sum_{k=1}^N \psi_k(\mu) \nu^{k-1}. \quad (22)$$

Тут  $\psi_k(\mu)$  – набір невідомих функцій,  $\nu = \nu(\xi, \eta)$  – фіксована функція координат, яка є незалежною

до  $\mu$ . В роботі [15] розглядалися два варіанти вибору функції  $\nu$ . Отримані результати були досить близькими, тому в цій роботі зупинимось на одному з варіантів, а саме:  $\nu = \eta^2 / (\xi^2 - \eta^2) = (r_1 - r_2)^2 / 4r_1r_2$ .

Зробивши підстановку (22) до функціонала (19) та проінтегрувавши по  $\nu$ , матимемо

$$S_N(\psi) = 4 \sum_{k,l=1}^N \int_0^\infty d\mu \left( P_{kl} \psi'_k \psi_l^{*'} + Q_{kl} \psi_k \psi_l^* + R_{kl} \psi'_k \psi_l^* + R_{kl}^\dagger \psi_k \psi_l^{*'} \right), \quad (23)$$

де  $\hat{P}$ ,  $\hat{Q}$  та  $\hat{R}$  – матриці  $N \times N$ , що залежать від  $\mu$ . Вирази для них ((A12)–(A14)) наведені в Додатку А.

Функціонал (23) досягає свого мінімуму на розв'язках рівнянь Лагранжа–Ейлера ( $l = \overline{1, N}$ ):

$$\frac{d}{d\mu} \left( P_{kl} \frac{d\psi_k}{d\mu} + R_{kl}^\dagger \psi_k \right) - Q_{kl} \psi_k - R_{kl} \frac{d\psi_k}{d\mu} = 0. \quad (24)$$

Граничні умови вибираються так, щоб норма залишалася скінченною, а також з того, що пробні функції мають задовольняти асимптотики точного розв'язку. Набір рівнянь Лагранжа–Ейлера та граничних умов до них формують разом крайову задачу, яку необхідно розв'язати.

У роботі [19] було застосовано перше наближення варіаційного методу Канторовича з  $N = 1$ . За допомогою шутінг-методу було обчислено залежність критичної відстані між домішками від сумарного заряду домішок  $R_{cr}(\zeta)$ . Отримана залежність наведена для порівняння на рис. 2 (штрихова лінія).

Більшої точності можна досягти, застосовуючи варіаційний метод Канторовича із  $N > 1$ . Однак, тут існують деякі відмінності від розглянутого в [19] випадку  $N = 1$ . Насамперед, уже не можна застосовувати шутінг-метод, оскільки маємо справу не з одним, а з системою диференціальних рівнянь. В роботі [23] зазначено, що для полегшення чисельних розрахунків необхідно звести систему диференціальних рівнянь другого порядку до матричного диференціального рівняння першого порядку за допомогою такої підстановки:

$$\psi'_i(\mu) = \sum_{j=1}^N Y_{ij}(\mu) \psi_j(\mu). \quad (25)$$

Тоді отримуємо нелінійне матричне рівняння Ріккати на матрицю  $\hat{Y}$ :

$$\hat{Y}' = \hat{A} - \hat{B}\hat{Y} - \hat{Y}^2, \quad (26)$$

де матриці-коефіцієнти мають вигляд

$$\hat{A} = \hat{P}^{-1}(\hat{Q} - \hat{R}'), \quad (27)$$

$$\hat{B} = \hat{P}^{-1}(\hat{R} - \hat{R}^T + \hat{P}'). \quad (28)$$

Матриці  $\hat{P}$ ,  $\hat{Q}$ ,  $\hat{R}$  є сингулярними в нулі та нескінченності. Це відображає той факт, що різні функції  $\psi_k(\mu)$  (як і різні елементи матриці  $\hat{Y}$ ) мають різні степені зростання/спадання в особливих точках. Для подолання цієї незручності здійснимо лінійне перетворення пробних функцій:

$$\psi_k(\mu) = S_{kl}(\mu) \tilde{\psi}_l(\mu), \quad \det \hat{S}(\mu) \neq 0. \quad (29)$$

Означимо нову матрицю  $\hat{Y}_S$ :

$$\tilde{\psi}'_k(\mu) = (Y_S)_{kl}(\mu) \tilde{\psi}_l(\mu). \quad (30)$$

Вона пов'язана з матрицею  $\hat{Y}$  таким співвідношенням:

$$\hat{Y}_S = \hat{S}^{-1} \hat{Y} \hat{S} - \hat{S}^{-1} \hat{S}'. \quad (31)$$

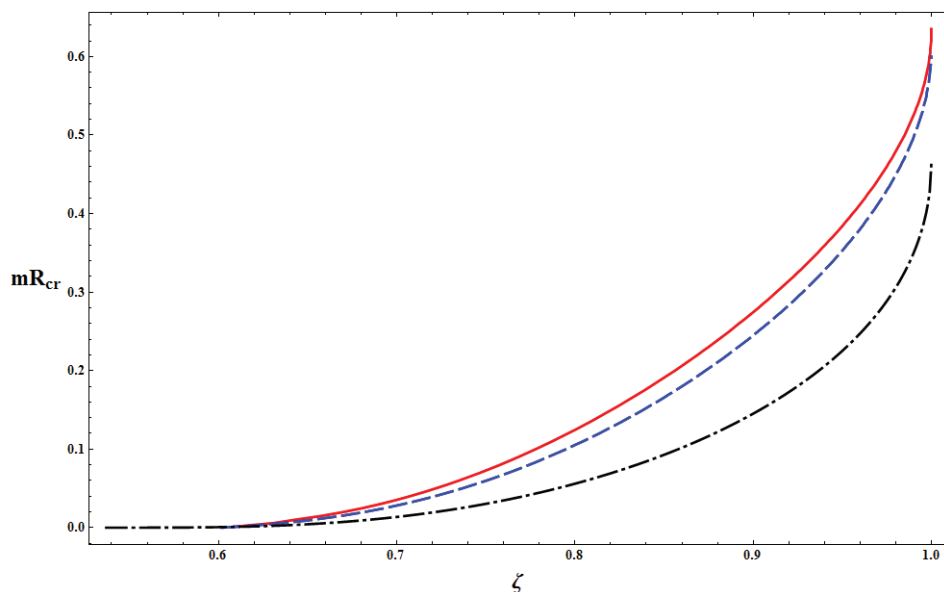
Матриця  $\hat{Y}_S$  також задовольняє рівняння Ріккати:

$$\hat{Y}'_S = \hat{A}_S - \hat{B}_S \hat{Y}_S - \hat{Y}_S^2. \quad (32)$$

Закони зміни коефіцієнтів рівнянь (32) та (24) при перетворенні (29) наведені в Додатку В. З них випливає критерій вибору матриці  $\hat{S}$ : після перетворення матриця  $\hat{P}_S$  має бути невиродженою (оскільки повинна існувати її обернена).

В околі кожної з особливих точок  $\mu = 0$  і  $\mu \rightarrow \infty$  необхідно вибрати свою матрицю перетворення  $\hat{S}^{0/\infty}$ , перетворені матриці-коефіцієнти  $\hat{A}_S$ ,  $\hat{B}_S$  необхідно розкласти за степенями змінної  $\mu$ . Відповідно, і невідому матрицю  $\hat{Y}_S$  треба шукати у вигляді:

$$\begin{aligned} \hat{Y}_S^{(0)} &= \mu^{\lambda_0} \left( \hat{Y}_1^{(0)} + \mu \hat{Y}_2^{(0)} + \mu^2 \hat{Y}_3^{(0)} + \dots \right), \quad \mu \rightarrow 0, \\ \hat{Y}_S^{(\infty)} &= \mu^{\lambda_\infty} \left( \hat{Y}_1^{(\infty)} + \frac{1}{\mu} \hat{Y}_2^{(\infty)} + \frac{1}{\mu^2} \hat{Y}_3^{(\infty)} + \dots \right), \quad (33) \\ &\mu \rightarrow \infty. \end{aligned}$$



**Рис. 2.** Залежність  $mR_{cr}(\zeta)$ , отримана з чисельного розв'язку рівнянь (16) (штрихпунктирна лінія) та (35) (суцільна лінія), для порівняння наведено результати розрахунків у першому наближенні варіаційного методу з роботи [19] (штрихова лінія)

У результаті такої підстановки до рівняння (32) і прирівнювання числових коефіцієнтів при однакових степенях змінної  $\mu$  отримаємо ланцюжок пов'язаних лінійних алгебраїчних рівнянь на матриці  $\hat{Y}_2, \hat{Y}_3, \dots$ , але на матрицю  $\hat{Y}_1$  матимемо квадратне рівняння вигляду:

$$\hat{Y}_1^2 - \hat{B}_1 \hat{Y}_1 - \hat{A}_1 = 0, \quad (34)$$

де  $\hat{A}_1, \hat{B}_1$  – деякі числові матриці. У випадку  $N = 2$  вдається добрати такі матриці перетворення  $\hat{S}^{0/\infty}$ , щоб  $\hat{B}_1 = B_1 \hat{1}$ . Тоді квадратне матричне рівняння вдається розв'язати. З двох коренів необхідно вибрати той, який відповідає більш регулярній поведінці пробних функцій в околі особливих точок (додатний в околі  $\mu = 0$  і від'ємний в околі  $\mu \rightarrow \infty$ ). Показники степеня  $\lambda_{0/\infty}$  вибирають таким чином, щоб забезпечити збігання степенів найбільш вагомих доданків в обох частинах рівняння.

Таким чином, знаходять початкові умови на матрицю  $\hat{Y}_S$  в нулі та на нескінченності. Відповідні матриці наведені в Додатку В. Після цього відбувається чисельне інтегрування рівнянь Ріккати методом Рунге-Кутти з урахуванням початкових умов в областях  $\mu \in [0, 1]$ ,  $\mu \in [1, \infty)$ . Обчислюються значення матриць  $\hat{Y}_S^{0/\infty}(\mu = 1)$ . Потім не-

обхідно здійснити обернені перетворення і знайти матриці  $\hat{Y}^{0/\infty}(\mu = 1)$ . Умовою гладкого зшивання пробних функцій в областях  $\mu > 1$  та  $\mu < 1$  є:

$$\delta(mR_{cr}, \zeta) \equiv \det[\hat{Y}^0(\mu = 1) - \hat{Y}^\infty(\mu = 1)] = 0. \quad (35)$$

У цій роботі розглядається випадок  $N = 2$ . Відповідні матриці перетворень та матриці початкових умов наведені в Додатку В. Всі перераховані вище маніпуляції здійснювались для різних значень добутку  $mR$  при фіксованому значенні  $\zeta$ . Таке значення  $mR_{cr}$ , за якого виконано умову (35), вважається критичним. За результатами чисельних розрахунків побудовано криву залежності  $mR_{cr}(\zeta)$  (суцільна лінія на рис. 2).

#### 4. Висновки

Було проведено дослідження надкритичної нестабільності в системі двох ідентичних заряджених домішок в графені. Заряд кожної з домішок є субкритичним, але їх сума  $\zeta = 2Z\alpha/\kappa$  перевищує критичне значення  $\zeta_c = 1/2$ . Таким чином, для кожного фіксованого  $\zeta$  існує така відстань між ними  $R_{cr}$ , за якої настає надкритичний режим. Актуальність проведеного дослідження зумовлена нещодавніми спостереженнями надкритичної неста-

більшості в кластерах домішок Ca, поміщених на графені [8].

Особливістю даної задачі є те, що змінні в рівнянні Дірака не розділяються в жодній відомій системі координат. А отже, отримати розв'язок в аналітичному вигляді неможливо. Тому для знаходження залежності критичної відстані від заряду системи було застосовано варіаційний метод Канторовича. Для безмасових частинок критичні явища пов'язані лише з появою резонансу в нижньому континуумі. Оскільки у варіаційному методі незручно працювати з резонансами, ми припустили наявність в зонному спектрі графену щілини  $\Delta$ , яку можна експериментально створити одним із багатьох методів (наприклад, переходом до графенової нанострічки, створенням деформацій, гідрогенізацією поверхні тощо [24]). Наявність цієї щілини призвела до появи рівнів дискретного спектра, тому спостерігалось занурення найнижчого рівня в нижній континуум. Відстань між домішками, коли це відбувається, означена як критична.

Варіаційний метод Канторовича передбачає використання довільної кількості пробних функцій. У цій роботі застосовувався метод з двома пробними функціями. Для порівняння наводяться результати аналогічних розрахунків за допомогою методу з однією пробною функцією, що проводились в роботі [19]. Отримані залежності  $mR_{cr}$  від  $\zeta$  побудовані на рис. 2 разом із наближеною кривою, отриманою зі зшивання асимптотик точного розв'язку. Як бачимо, результати двох послідовних наближень варіаційного методу досить добре узгоджуються між собою як якісно, так і кількісно. Максимальна розбіжність між ними не перевищує 8–10%. Цей факт свідчить про те, що результати, наведені в статті [19], є задовільними, незважаючи на простоту наближення. Як і має бути,  $R_{cr} \rightarrow 0$  при  $\zeta \rightarrow 1/2$  і  $R_{cr} \rightarrow \infty$  при  $\zeta \rightarrow 1$  (в першому випадку надкритична нестабільність настає лише при суміщенні домішок, в другому – кожна з домішок стає надкритичною). Також показано, що при  $\Delta \rightarrow 0$   $R_{cr} \rightarrow \infty$  для будь-якого фіксованого значення  $\zeta$ . Це означає, що, коли сумарний заряд системи перевищує критичний, система знаходиться в надкритичному стані за будь-якої скінченної відстані між домішками.

Як показано в [19], ця надкритична нестабільність проявляється появою в нижньому континуумі квазістаціонарного стану. Він може бути спо-

стережений в локальній густині станів (LDOS), яка є експериментально вимірюваною величиною. Але енергія та ширина резонансу спадають при віддаленні домішок одна від одної як  $\frac{1}{R}$ , а тому при досягненні деякої досить великої відстані резонанс стане непомітним (наприклад, через обмежену точність вимірювань). І тоді стан системи не можна буде відрізнити від субкритичного.

*Висловлюю слова найщирішої вдячності Е.В. Горбару та В.П. Гусиніну за цінні поради і поправки, внесені під час обговорення матеріалів даної роботи. Робота підтримана грантом Державного фонду фундаментальних досліджень № F53.2/028.*

#### ДОДАТОК А Вирази для матриць-коефіцієнтів

В цьому Додатку наведено вирази для матриць  $\hat{P}$ ,  $\hat{Q}$  та  $\hat{R}$  у функціоналі (23). Функціонал (19) при  $E = -\Delta$  набуває вигляду:

$$S[\psi] = 4 \sum_{k,l=1}^N \int_0^\infty d\mu d\nu |J| \left[ (\nabla\mu)^2 \psi'_k \psi'_l{}^* \nu^{k+l-2} + 2\nabla\mu \nabla\nu \operatorname{Re}(\psi_l^* \psi'_k) (l-1) \nu^{k+l-3} - 2 \left( \frac{\nabla V}{2V} \times \nabla\mu \right) \Im(\psi_l^* \psi'_k) \nu^{k+l-2} + \psi_l^* \psi_k \left[ (\nabla\nu)^2 (l-1)(k-1) \nu^{k+l-4} - i(l-k) \left( \frac{\nabla V}{2V} \times \nabla\nu \right) \nu^{k+l-3} + 2U \nu^{k+l-2} \right] \right] f(\mu, \nu), \quad (A1)$$

де функції  $\nabla\mu$ ,  $\nabla\nu$ ,  $V$ ,  $U$  можуть бути виражені в змінних  $\mu, \nu$ . Оскільки  $\mu\nu = \eta^2 < 1$ ,  $\mu(\nu+1) = \xi^2 > 1$ , інтегрування в площині  $(\mu, \nu)$  здійснюється по криволінійному трикутнику:

$$\left( \frac{1}{\mu} - 1 \right) \theta(1-\mu) < \nu < \frac{1}{\mu}, \quad (A2)$$

що можна забезпечити функцією  $f(\mu, \nu)$ ,

$$f(\mu, \nu) = \theta(1-\mu\nu) \times [\theta(1-\mu)\theta(\mu(\nu+1)-1) + \theta(\mu-1)]. \quad (A3)$$

Перепишемо в змінних  $(\mu, \nu)$  всі величини, що фігурують у функціоналі (A1):

$$|J| = \frac{\mu R^2}{16} \frac{1}{\sqrt{\nu(\nu+1)(\mu+\mu\nu-1)(1-\mu\nu)}}, \quad (A4)$$

$$V(\mu, \nu) = -\frac{2\nu_F \zeta}{R} \sqrt{\frac{\nu+1}{\mu}}, \quad (\text{A5})$$

$$(\nabla \mu)^2 = \frac{16}{R^2} (\mu + 2\mu\nu - 1), \quad (\text{A6})$$

$$(\nabla \nu)^2 = \frac{16\nu(\nu+1)}{\mu^2 R^2}, \quad (\text{A7})$$

$$\nabla \mu \nabla \nu = -\frac{16\nu(\nu+1)}{R^2}, \quad (\text{A8})$$

$$\begin{aligned} \frac{\nabla V}{V} \times \nabla \mu &= (\nabla \nu \times \nabla \mu) \frac{\partial \ln V}{\partial \nu} = \\ &= \frac{8}{R^2 \mu} \frac{\sqrt{\nu(\mu + \mu\nu - 1)(1 - \mu\nu)}}{\sqrt{\nu+1}}, \end{aligned} \quad (\text{A9})$$

$$\begin{aligned} \frac{\nabla V}{V} \times \nabla \nu &= (\nabla \mu \times \nabla \nu) \frac{\partial \ln V}{\partial \mu} = \\ &= \frac{8}{R^2 \mu^2} \sqrt{\nu(\nu+1)(\mu + \mu\nu - 1)(1 - \mu\nu)}, \end{aligned} \quad (\text{A10})$$

$$\begin{aligned} 2U &= \frac{2}{R^2} \left[ 2\nu_F \zeta m R \sqrt{\frac{\nu+1}{\mu}} - 2\zeta^2 \frac{\nu+1}{\mu} - \right. \\ &\quad \left. - \frac{4\nu+1}{\mu} + \frac{3}{2} \frac{4\mu\nu^2 + 5\mu\nu + \mu - 1}{\mu^2(\nu+1)} \right]. \end{aligned} \quad (\text{A11})$$

Функціонал (A1) набуває форми (23), де  $\hat{\mathbf{P}}, \hat{\mathbf{Q}}$  та  $\hat{\mathbf{R}}$  – матриці  $N \times N$ , що залежать від  $\mu$ :

$$P_{kl}(\mu) = \int_0^\infty (\nabla \mu)^2 \nu^{k+l-2} |J| f(\mu, \nu) d\nu, \quad (\text{A12})$$

$$\begin{aligned} Q_{kl}(\mu) &= \int_0^\infty \left[ (\nabla \nu)^2 (l-1)(k-1) \nu^{k+l-4} - \right. \\ &\quad \left. - i(l-k) \left( \frac{\nabla V}{2V} \times \nabla \nu \right) \nu^{k+l-3} + \right. \\ &\quad \left. + 2U \nu^{k+l-2} \right] |J| f(\mu, \nu) d\nu, \end{aligned} \quad (\text{A13})$$

$$\begin{aligned} R_{kl}(\mu) &= \int_0^\infty \left[ \nabla \mu \nabla \nu (l-1) \nu^{k+l-3} + \right. \\ &\quad \left. + i \left( \frac{\nabla V}{2V} \times \nabla \mu \right) \nu^{k+l-2} \right] |J| f(\mu, \nu) d\nu. \end{aligned} \quad (\text{A14})$$

У випадку  $N = 2$  наведемо вирази для елементів матриць  $\hat{\mathbf{P}}, \hat{\mathbf{Q}}$  та  $\hat{\mathbf{R}}$ . Ці вирази можуть бути отримані за допомогою інтегралів, наведених в [25], які виражаються через повні еліптичні інтеграли першого  $K(k)$ , другого  $E(k)$  та третього роду  $\Pi(k, l)$ . До остаточного вигляду їх можна привести за допомогою тотожностей [26]:

$$\Pi(\mu, \mu) = \frac{\pi}{4(1-\mu)} + \frac{1}{2} K(\mu), \quad (\text{A15})$$

$$\Pi(\mu^2, \mu) = \frac{1}{1-\mu^2} E(\mu). \quad (\text{A16})$$

Також в силу того, що розглядається основний стан системи, а хвильова функція основного стану є дійсною, всі уявні частини коефіцієнтів не дають внеску. Таким чином, маємо

$$P_{11}(\mu) = \pi\mu, \quad (\text{A17})$$

$$\begin{aligned} P_{12}(\mu) &= P_{21}(\mu) = \frac{\pi}{2}(1-\mu) + \\ &\quad + \theta(1-\mu) [2E(\mu) - (1-\mu^2)K(\mu)] + \\ &\quad + \theta(\mu-1)\mu \left[ 2E\left(\frac{1}{\mu}\right) - \left(1 - \frac{1}{\mu^2}\right) K\left(\frac{1}{\mu}\right) \right], \end{aligned} \quad (\text{A18})$$

$$\begin{aligned} P_{22}(\mu) &= \frac{\pi}{2} \frac{1-\mu+\mu^2}{\mu} + \\ &\quad + \theta(1-\mu) \frac{1-\mu}{\mu} [2E(\mu) - (1-\mu^2)K(\mu)] + \\ &\quad + \theta(\mu-1)(1-\mu) \left[ 2E\left(\frac{1}{\mu}\right) - \left(1 - \frac{1}{\mu^2}\right) K\left(\frac{1}{\mu}\right) \right], \end{aligned} \quad (\text{A19})$$

$$R_{11}(\mu) = R_{21}(\mu) = 0, \quad (\text{20})$$

$$\begin{aligned} R_{12}(\mu) &= -\frac{\pi}{2\mu} - \theta(1-\mu) \frac{E(\mu)}{\mu} - \\ &\quad - \theta(\mu-1) \left[ E\left(\frac{1}{\mu}\right) - \left(1 - \frac{1}{\mu^2}\right) K\left(\frac{1}{\mu}\right) \right], \end{aligned} \quad (\text{A21})$$

$$\begin{aligned} R_{22}(\mu) &= -\frac{\pi(2-\mu)}{4\mu^2} - \\ &\quad - \theta(1-\mu) \left[ \frac{3-\mu}{2\mu^2} E(\mu) - \frac{1-\mu^2}{2\mu^2} K(\mu) \right] - \\ &\quad - \theta(\mu-1) \left[ \frac{3-\mu}{2\mu} E\left(\frac{1}{\mu}\right) + \right. \\ &\quad \left. + \frac{(\mu-1)(\mu^2-\mu-2)}{2\mu^3} K\left(\frac{1}{\mu}\right) \right], \end{aligned} \quad (\text{A22})$$

$$\begin{aligned} Q_{11}(\mu) &= -\frac{\pi(\zeta^2-1)}{8\mu} + \\ &\quad + \frac{\zeta m R}{2} \left[ \theta(1-\mu) K(\sqrt{\mu}) + \frac{\theta(\mu-1)}{\sqrt{\mu}} K\left(\frac{1}{\sqrt{\mu}}\right) \right] + \\ &\quad + \theta(1-\mu) \left[ \frac{3}{8\mu(1+\mu)} E(\mu) - \right. \\ &\quad \left. - \frac{(2\zeta^2+1)(1+\mu)}{8\mu} K(\mu) \right] + \\ &\quad + \theta(\mu-1) \left[ \frac{3}{8(1+\mu)} E\left(\frac{1}{\mu}\right) - \right. \\ &\quad \left. - \frac{(\zeta^2-1)(1+\mu)+3\mu}{4\mu^2} K\left(\frac{1}{\mu}\right) \right], \end{aligned} \quad (\text{A23})$$

$$\begin{aligned} Q_{12}(\mu) &= Q_{21}(\mu) = -\frac{\pi(3\mu+4(\zeta^2-1))}{32\mu^2} + \\ &\quad + \theta(1-\mu) \frac{\zeta m R}{2\mu} E(\sqrt{\mu}) + \\ &\quad + \theta(\mu-1) \frac{\zeta m R}{2\sqrt{\mu}} \left[ E\left(\frac{1}{\sqrt{\mu}}\right) - \frac{\mu-1}{\mu} K\left(\frac{1}{\sqrt{\mu}}\right) \right] - \\ &\quad - \theta(1-\mu) \left[ \frac{3\mu+2(\mu+1)(\zeta^2-1)}{8\mu^2(1+\mu)} E(\mu) + \frac{3(1-\mu)}{16\mu} K(\mu) \right] - \\ &\quad - \theta(\mu-1) \left[ \frac{3\mu+2(\mu+1)(\zeta^2-1)}{8\mu(1+\mu)} E\left(\frac{1}{\mu}\right) + \right. \\ &\quad \left. + \frac{(1-\mu)(9\mu+4(1+\mu)(\zeta^2-1))}{16\mu^3} K\left(\frac{1}{\mu}\right) \right], \end{aligned} \quad (\text{A24})$$



$$\begin{aligned}
 Q_{22}(\mu) = & \frac{\pi}{32\mu^3} (16 - (2\zeta^2 - 2 + 3\mu)(2 - \mu)) + \\
 & + \theta(1 - \mu) \frac{\zeta m R}{6\mu} \left[ 2 \left( \frac{2}{\mu} - 1 \right) E(\sqrt{\mu}) - \right. \\
 & - \left. \left( \frac{1}{\mu} - 1 \right) K(\sqrt{\mu}) \right] + \\
 & + \theta(\mu - 1) \frac{\zeta m R}{6\sqrt{\mu}} \left[ 2 \left( \frac{2}{\mu} - 1 \right) E \left( \frac{1}{\sqrt{\mu}} \right) - \right. \\
 & - \left. \left( 1 - \frac{1}{\mu} \right) \left( \frac{3}{\mu} - 2 \right) K \left( \frac{1}{\sqrt{\mu}} \right) \right] + \\
 & + \theta(1 - \mu) \left[ \frac{(1 - \mu) (2(\zeta^2 - 1)(\mu + 1) - 3\mu(1 - \mu))}{16\mu^3} K(\mu) + \right. \\
 & + \left. \frac{3\mu^2 + 13\mu + 16 + 2(\zeta^2 - 1)(\mu^2 - 2\mu - 3)}{16\mu^3(1 + \mu)} E(\mu) \right] + \\
 & + \theta(\mu - 1) \left[ \frac{(1 - \mu)(3\mu^2 + 5\mu + 8)}{8\mu^4} K \left( \frac{1}{\mu} \right) + \right. \\
 & + \left. \frac{(\zeta^2 - 1)(1 - \mu)(\mu^2 - \mu - 2)}{8\mu^4} K \left( \frac{1}{\mu} \right) + \right. \\
 & + \left. \frac{3\mu^2 + 13\mu + 16 + 2(\zeta^2 - 1)(\mu^2 - 2\mu - 3)}{16\mu^2(1 + \mu)} E \left( \frac{1}{\mu} \right) \right]. \quad (A25)
 \end{aligned}$$

**ДОДАТОК В**  
**Особливості застосування**  
**варіаційного методу з  $N = 2$**

В цьому додатку наводяться деякі деталі застосування методу Канторовича у випадку  $N = 2$ .

В результаті перетворення (29) коефіцієнтів рівнянь (32) та (24) перетворюються так:

$$\hat{\mathbf{A}}_{\mathbf{S}} = \hat{\mathbf{S}}^{-1} \hat{\mathbf{A}} \hat{\mathbf{S}} - \hat{\mathbf{S}}^{-1} \hat{\mathbf{B}} \hat{\mathbf{S}}' - \hat{\mathbf{S}}^{-1} \hat{\mathbf{S}}'', \quad (B1)$$

$$\hat{\mathbf{B}}_{\mathbf{S}} = \hat{\mathbf{S}}^{-1} \hat{\mathbf{B}} \hat{\mathbf{S}} + 2\hat{\mathbf{S}}^{-1} \hat{\mathbf{S}}'', \quad (B2)$$

$$\hat{\mathbf{P}}_{\mathbf{S}} = \hat{\mathbf{S}}^T \hat{\mathbf{P}} \hat{\mathbf{S}}, \quad (B3)$$

$$\hat{\mathbf{R}}_{\mathbf{S}} = \hat{\mathbf{S}}^T \hat{\mathbf{R}} \hat{\mathbf{S}} + \hat{\mathbf{S}}^T \hat{\mathbf{P}} \hat{\mathbf{S}}', \quad (B4)$$

$$\hat{\mathbf{Q}}_{\mathbf{S}} = \hat{\mathbf{S}}^T \hat{\mathbf{Q}} \hat{\mathbf{S}} + \hat{\mathbf{S}}'^T \hat{\mathbf{R}} \hat{\mathbf{S}}' + \hat{\mathbf{S}}^T \hat{\mathbf{R}}^T \hat{\mathbf{S}}' + \hat{\mathbf{S}}'^T \hat{\mathbf{P}} \hat{\mathbf{S}}'. \quad (B5)$$

1. Інтервал  $0 < \mu \leq 1$

$$\det \hat{\mathbf{P}}(\mu) = \frac{\pi^2 \mu^2}{8} + O(\mu^4), \quad \mu \rightarrow 0. \quad (B6)$$

Тому матрицю  $\hat{\mathbf{S}}^{(0)}$  необхідно вибрати такою, щоб  $\det \hat{\mathbf{S}}^{(0)} \sim \frac{1}{\mu}$ . В цій роботі було вибрано матрицю:

$$\hat{\mathbf{S}}^{(0)}(\mu) = \begin{pmatrix} \frac{\mu-1}{\mu^{3/2}} & \frac{\mu+1}{\mu^{3/2}} \\ \frac{1}{\sqrt{\mu}} & -\frac{1}{\sqrt{\mu}} \end{pmatrix}, \quad \det \hat{\mathbf{S}}^{(0)} = -\frac{2}{\mu}. \quad (B7)$$

Показник степеня  $\lambda_0 = -1$ , що відповідає степеневій поведінці пробних функцій в околі точки  $\mu = 0$ . Коефіцієнти рівняння (34) мають вигляд

$$\hat{\mathbf{A}}_1^{(0)} = \begin{pmatrix} \frac{3-\zeta^2}{4} & -\frac{3}{4} \\ -\frac{1}{4} & \frac{1-\zeta^2}{4} \end{pmatrix}, \quad \hat{\mathbf{B}}_1^{(0)} \equiv \hat{\mathbf{1}}. \quad (B8)$$

Рівняння (34) зводиться до такого вигляду:

$$\left( \hat{\mathbf{Y}}_1^{(0)} - \frac{1}{2} \hat{\mathbf{1}} \right)^2 = \hat{\mathbf{A}}_1^{(0)} + \frac{1}{4} \hat{\mathbf{1}}, \quad (B9)$$

його розв'язок:

$$\begin{aligned}
 \hat{\mathbf{Y}}_1^{(0)} = & \frac{1}{2} \hat{\mathbf{1}} + \\
 & + \begin{pmatrix} \frac{1}{2} & -\frac{3}{2} \\ \frac{1}{2} & \frac{1}{2} \end{pmatrix} \begin{pmatrix} \frac{\sqrt{1-\zeta^2}}{2} & 0 \\ 0 & \frac{\sqrt{5-\zeta^2}}{2} \end{pmatrix} \begin{pmatrix} \frac{1}{2} & \frac{3}{2} \\ -\frac{1}{2} & \frac{1}{2} \end{pmatrix} = \\
 = & \begin{pmatrix} \frac{4+\sqrt{1-\zeta^2}+3\sqrt{5-\zeta^2}}{8} & \frac{3\sqrt{1-\zeta^2}-3\sqrt{5-\zeta^2}}{8} \\ \frac{\sqrt{1-\zeta^2}-\sqrt{5-\zeta^2}}{8} & \frac{4+3\sqrt{1-\zeta^2}+\sqrt{5-\zeta^2}}{8} \end{pmatrix}. \quad (B10)
 \end{aligned}$$

Матриця  $\frac{1}{\mu} \hat{\mathbf{Y}}_1^{(0)}$  використовується в ролі початкової умови при чисельному інтегруванні рівняння Ріккати (32) на інтервалі  $0 < \mu \leq 1$ .

2. Інтервал  $1 \leq \mu < \infty$

$$\det \hat{\mathbf{P}}(\mu) = \frac{\pi^2}{8} + O\left(\frac{1}{\mu^2}\right), \quad \mu \rightarrow \infty. \quad (B11)$$

Тому матрицю  $\hat{\mathbf{S}}^{(\infty)}$  необхідно вибрати такою, щоб  $\det \hat{\mathbf{S}}^{(\infty)} \sim 1$ . В цій роботі було вибрано матрицю:

$$\hat{\mathbf{S}}^{(\infty)}(\mu) = \begin{pmatrix} \frac{1}{\sqrt{\mu}} & -\frac{1}{\sqrt{\mu}} \\ \sqrt{\mu} & \sqrt{\mu} \end{pmatrix}, \quad \det \hat{\mathbf{S}}^{(\infty)} = 2. \quad (B12)$$

Показник степеня  $\lambda_{\infty} = -3/4$ , що відповідає поведінці пробних функцій  $\sim \exp(-\mu^{1/4})$  при  $\mu \rightarrow \infty$ . Коефіцієнти рівняння (34) мають вигляд

$$\hat{\mathbf{A}}_1^{(\infty)} = \frac{\zeta m R}{4} \hat{\mathbf{1}}, \quad \hat{\mathbf{B}}_1^{(\infty)} \equiv \hat{\mathbf{0}}. \quad (B13)$$

Розв'язок рівняння (34) має вигляд

$$\hat{\mathbf{Y}}_1^{(\infty)} = -\frac{\sqrt{\zeta m R}}{2} \hat{\mathbf{1}}. \quad (B14)$$

Матриця  $\frac{1}{\mu^{3/4}} \hat{\mathbf{Y}}_1^{(\infty)}$  використовується в ролі початкової умови при чисельному інтегруванні рівняння Ріккати (32) на інтервалі  $1 \leq \mu < \infty$ .

1. P.R. Wallace, Phys. Rev. **71**, 622 (1947).
2. K.S. Novoselov, A.K. Geim, S.V. Morozov *et al.*, Science **306**, 666 (2004).
3. G.W. Semenoff, Phys. Rev. Lett. **53**, 2449 (1984).
4. A.H. Castro Neto, F. Guinea, N.M.R. Peres, K.S. Novoselov, and A.K. Geim, Rev. Mod. Phys. **81**, 109 (2009).
5. V.P. Gusynin, S.G. Sharapov, and J.P. Carbotte, Int. J. Mod. Phys. B **21**, 4661 (2007).
6. D.S.L. Abergel, V. Apalkov, J. Berashevich, K. Ziegler, and T. Chakraborty, Adv. Phys. **59**, 261 (2010).
7. A.F. Young and P. Kim, Nature Phys. **5**, 222 (2009).
8. Y. Wang *et al.*, Science **340**, 734 (2013).

9. I.Ya. Pomeranchuk and Y.A. Smorodinsky, J. Phys. USSR **9**, 97 (1945).
10. Ya.B. Zeldovich and V.N. Popov, Sov. Phys. Usp. **14**, 673 (1972).
11. W. Greiner, B. Müller, and J. Rafelski, *Quantum Electrodynamics of Strong Fields*, (Springer, Berlin, 1985).
12. S.S. Gershtein and Ya.B. Zeldovich, Sov. Phys. JETP **30**, 358 (1970).
13. J. Rafelski, L.P. Fulcher, and W. Greiner, Phys. Rev. Lett. **27**, 958 (1971).
14. B. Müller, H. Peitz, J. Rafelski, and W. Greiner, Phys. Rev. Lett. **28**, 1235 (1972).
15. M.S. Marinov and V.S. Popov, Sov. Phys. JETP **41**, 205 (1975).
16. A.V. Shytov, M.I. Katsnelson, and L.S. Levitov, Phys. Rev. Lett. **99**, 236801 (2007); **99**, 246802 (2007).
17. V.M. Pereira, J. Nilsson, and A.H. Castro Neto, Phys. Rev. Lett. **99**, 166802 (2007).
18. O.V. Gamayun, E.V. Gorbar, and V.P. Gusynin, Phys. Rev. B **80**, 165429 (2009).
19. O.O. Sobol, E.V. Gorbar, and V.P. Gusynin, Phys. Rev. B **88**, 205116 (2013).
20. Г. Бейтмен, А. Эрдейи, *Высшие трансцендентные функции* (Наука, Москва, 1974), Т. 2.
21. V.S. Popov, Sov. J. Nucl. Phys. **14**, 257 (1972).
22. V.S. Popov, Phys. At. Nucl. **64**, 367 (2001).
23. M.S. Marinov, V.S. Popov, and V.L. Stolin, J. Comp. Phys. **19**, 241 (1975).
24. M.I. Katsnelson, *Graphene: Carbon in Two Dimensions* (Cambridge University Press, New York, 2012).
25. И.С. Градштейн и И.М. Рыжик, *Таблицы интегралов, сумм, рядов и произведений*, (Гос. изд. физ.-мат. литературы, Москва, 1963).
26. P.F. Byrd and M.D. Friedman, *Handbook of Elliptic Integrals for Engineers and Scientists*, (Springer, Berlin, 1971).

Одержано 12.09.13

А.А. Соболев

ВАРИАЦИОННЫЙ МЕТОД ВЫЧИСЛЕНИЯ КРИТИЧЕСКОГО РАССТОЯНИЯ В ЗАДАЧЕ О ДВУХ КУЛОНОВСКИХ ЦЕНТРАХ В ГРАФЕНЕ

Резюме

Исследована надкритическая нестабильность в системе двух заряженных примесей в графене с квазичастицами, которые в непрерывном пределе описываются двумерным уравнением Дирака. Рассмотрен случай, когда заряд каждой из двух одинаковых примесей является субкритическим, тогда как их сумма превосходит критический заряд в задаче об одном кулоновском центре. Развита вариационный метод, с помощью которого вычисляются значения критического расстояния между примесями  $R_{cr}$ , как функции полного заряда системы. Установлено, что  $R_{cr}$  растёт с увеличением полного заряда двух примесей и с уменьшением ширины квазичастичной щели. Проведено сравнение результатов с данными предшествующих исследований.

O.O. Sobol

VARIATIONAL METHOD FOR THE CALCULATION OF CRITICAL DISTANCE BETWEEN TWO COULOMB CENTERS IN GRAPHENE

Summary

The supercritical instability in a system of two identical charged impurities in gapped graphene described in the continuous limit by the two-dimensional Dirac equation has been studied. The case where the charge of each impurity is subcritical, but their sum exceeds the critical value calculated in the version with a single Coulomb center, is considered. Using the developed variational method, the dependence of the critical distance  $R_{cr}$  between the impurities on their total charge is calculated. The  $R_{cr}$ -value is found to grow as the total impurity charge increases and the quasiparticle band gap decreases. The results of calculations are compared with those obtained in earlier researches.